

Дополнительный материал

Supplementary data

Сравнение структуры обонятельных сенсилл у литоральных и глубоководных амфипод (Amphipoda, Crustacea) Байкальского региона

Широкова Ю. А., Саранчина А. Е., Шатилина Ж. М., Кащук Н. Д., Тимофеев М. А.

A. Comparison of olfactory sensilla structure in littoral and deep-water amphipods from the Baikal region.

Shirokova Y. A., Saranchina A. E., Shatilina Zh. M., Kashchuk N. D., Timofeyev M.

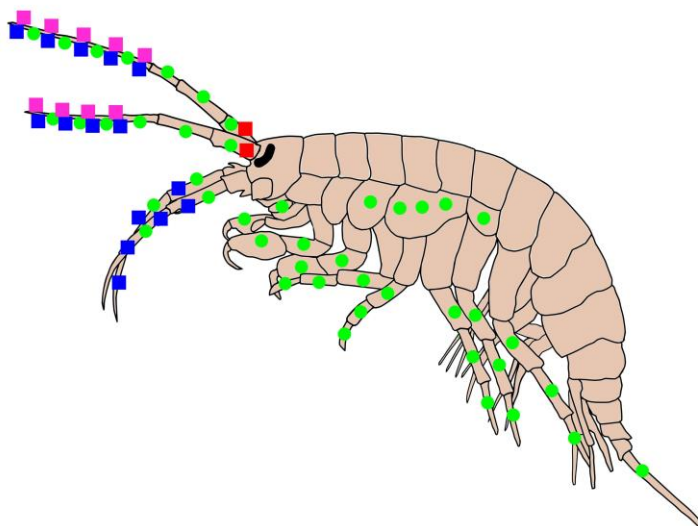


Рис. S1. Схема расположения различных типов хемосенсорных сенсилл на примере амфипод. Обозначения: зеленые круги – распределенные сенсиллы; квадраты – обонятельные сенсиллы (розовый – эстетаски, синий – калцеолы, красный – каллинофоры и самец-специфичные сенсиллы).

Fig. S1. Location of various types of the chemosensory sensilla on the example of amphipods. Designations: green circles – distributed sensilla; squares – olfactory sensilla (pink – aesthetascs, blue – calceoli, red – callinophores and male-specific sensilla).

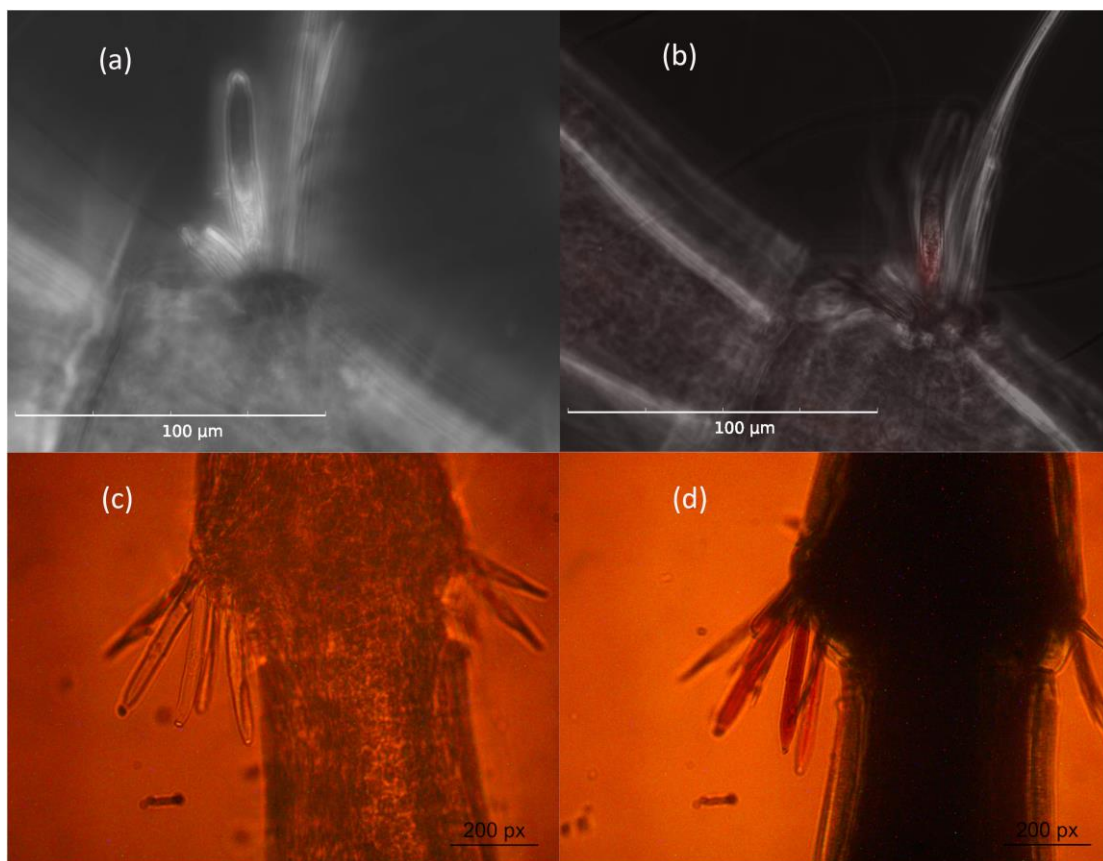


Рис. S2. Результат окрашивания эстетасков байкальских эндемичных амфипод: а–б – эстетаск литорального *Eulimnogammarus vittatus* после окрашивания йодистым пропидием (а – фазовый контраст, б – красный флуоресцентный канал RFP); в–г – эстетаски глубоководного *Ommatogammarus flavus* (в – до окрашивания, г – после окрашивания по Май-Грюнвальду).

Fig. S2. Stained aesthetascs of Baikal endemic amphipods: a-b – aesthetasc of littoral *Eulimnogammarus vittatus* after staining with propidium iodide (a – phase contrast, b – red fluorescent channel RFP); c-d – aesthetascs of deep-water *Ommatogammarus flavus* (c – before staining, d – after staining according to May-Grünwald).

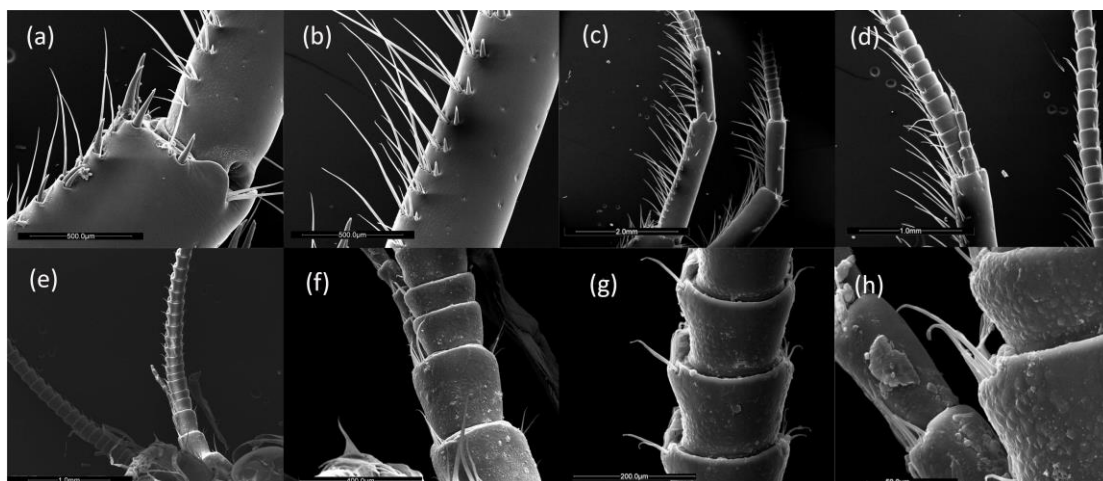


Рис. S3. СЭМ микрофотографии базальной области антенн I байкальских эндемичных амфипод: а–г – литоральный *Eulimnogammarus verrucosus* (а – дистальный конец первого сегмента правой антенны I, б – второй сегмент правой антенны I, в – базальные сегменты антенн I, г – дистальная сторона третьего сегмента правой антенны I, несущего придаточный жгутик (слева), внешний вид сегментов левой антенны I (справа)); д–з – глубоководный *Ommatogammarus albinus* (д – внешний вид антенн I, е – второй–пятый сегменты левой антенны I, видно придаточный жгутик, ж – 13–15 сегменты левой антенны I, пучки с эстетасками и механорецепторными щетинками наклонены к антенне, часть механорецепторных сенсилл обращена верхними концами от антенны, з – шестой сегмент левой антенны I (справа) и придаточный жгутик (слева); эстетаски, окруженные механорецепторными щетинками, наклонены к антенне).

Fig. S3. SEM microphotographs of antennae I basal part of Baikal endemic amphipods: a-d – littoral *Eulimnogammarus verrucosus* (a – distal end of the first segment of the right antenna I, b – the second segment of the right antenna I, c – the basal segments of antennae I, d – the distal side of the right antenna I third segment carrying the accessory flagellum (left), segments of the left antenna (right)); e-h – deep-water *Ommatogammarus albinus* (e – antennae I, f – second-fifth segments of the left antenna I, the accessory flagellum is seen, g – 13-15th segments of the left antenna I, the tufts with the aesthetascs and mechanoreceptor setae are inclined towards the antenna, some of the mechanoreceptor sensilla are directed away from the antenna, h – the sixth segment of the left antenna I (right) and the accessory flagellum (left); the aesthetascs, surrounded by the mechanoreceptor setae, are inclined towards the antenna).



Рис. S4. Внешний вид байкальской литоральной амфиподы *Eulimnogammarus verrucosus*.

Fig. S4. Lateral view of a Baikal littoral amphipod *Eulimnogammarus verrucosus*.



Рис. S5. Внешний вид байкальских глубоководных амфипод рода *Ommatogammarus*: а – *O. carneolus melanophthalmus*; б – *O. flavus*; в – *O. albinus*.

Fig. S5. Lateral view of Baikal deep-water amphipods of the genus *Ommatogammarus*: а – *O. carneolus melanophthalmus*; б – *O. flavus*; в – *O. albinus*.